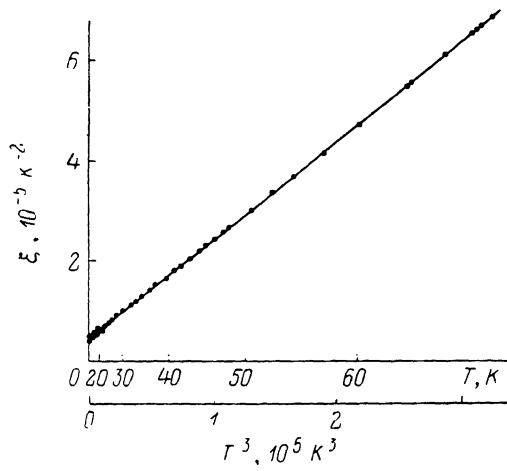


нитного поля, как отмечалось выше, имеет место зависимость  $\rho \sim T^{3.7}$ , что является результатом сложения всех процессов рассеяния электронов на фононах, в том числе перебросов вблизи брэгговских плоскостей. Тем не менее сама полученная константа  $B$  имеет вполне реальный физический смысл, так как определяет вклад в рассеяние электронов на фононах без учета процессов переброса.

Таким образом, информация, получаемая при измерении магнитосопротивления, предоставляет нетривиальную возможность разделения различных вкладов в процессы рассеяния электронов в металлах. При этом необходимо учитывать, что вклад от электрон-электронного рассеяния зависит от наличия в образце анизотропных рассеивающих центров (например, дислокаций) [1]. Рассеяние на примесях также может приводить к появлению зависящего от температуры вкладу  $\propto T^2$  в области низких температур [4].

Интересно отметить, что полученный коэффициент  $A$  для берилля имеет тот же порядок величины, что и найденный в [5] коэффициент  $A$  для меди. Полученный там же для меди коэффициент  $B$  больше в  $\sim 100$  раз  $B$  для берилля, что определяется аномально большой температурой Дебая берилля.



Температурная зависимость магнитосопротивления  $R_H(T)$  монокристалла берилля в поле  $H=62.5$  кОе.

#### Список литературы

- [1] Kaveh M., Wiser N. // J. Phys. F: Met. Phys. 1982. V. 12. N 5. P. 935—950.
- [2] Варюхин С. В., Егоров В. С. // ЖЭТФ. 1979. Т. 76. № 2. С. 597—606.
- [3] Варюхин С. В., Егоров В. С. // Письма в ЖЭТФ. 1981. Т. 33. № 1. С. 35—37.
- [4] Жернов А. П. // ФТТ. 1980. Т. 22. № 2. С. 570—574.
- [5] Омельяновский О. Е., Заварицкий Н. В., Личкова Н. В., Матвеев В. Н. // ЖЭТФ. 1985. Т. 88. № 2 (8). С. 700—713.

Институт атомной энергии  
им. И. В. Курчатова  
Москва

Поступило в Редакцию  
17 апреля 1989 г.  
В окончательной редакции  
29 июня 1989 г.

УДК 621.315.592

Физика твердого тела, том 31, в. 12, 1989  
Solid State Physics, vol. 31, N 12, 1989

#### ЭКСИТОННАЯ ЛЮМИНЕСЦЕНЦИЯ ГЕКСАГОНАЛЬНОГО СЕЛЕНИДА ЦИНКА

А. А. Бережная, П. Н. Занадворов, Ю. А. Степанов

Кристаллы селенида цинка существуют в одной из двух кристаллических модификаций: кубической ( $ZB$ ) или гексагональной ( $W$ ), что определяется условиями их выращивания. Наиболее изученной является  $ZB$ -модификация селенида цинка. В данной работе исследованы спектры

фотолюминесценции (ФЛ), отражения и поглощения монокристаллов W-ZnSe, полученных методом зонной сублимации.

Кристаллы W-ZnSe имели форму правильной шестиугольной призмы с размерами несколько миллиметров по высоте и до 1 мм в основании. Рентгеноструктурный анализ показал наличие в них оси шестого порядка.

Известно, что экситонный максимум в W-ZnSe при  $T=4$  К сдвинут на 10 нм в коротковолновую сторону относительно его положения в спектре ZB-ZnSe [1]. Исследование спектра поглощения тонкого ( $\sim 40$  мкм) скола кристалла и спектра отражения от скола показало наличие резкой ступени в первом случае и узкой линии во втором, расположенных при энергии 2.872 (4 К) и 2.859 эВ (77 К). Полученные данные согласуются с результатами [1], что подтверждает принадлежность выращенных кристаллов ZnSe к гексагональной модификации.

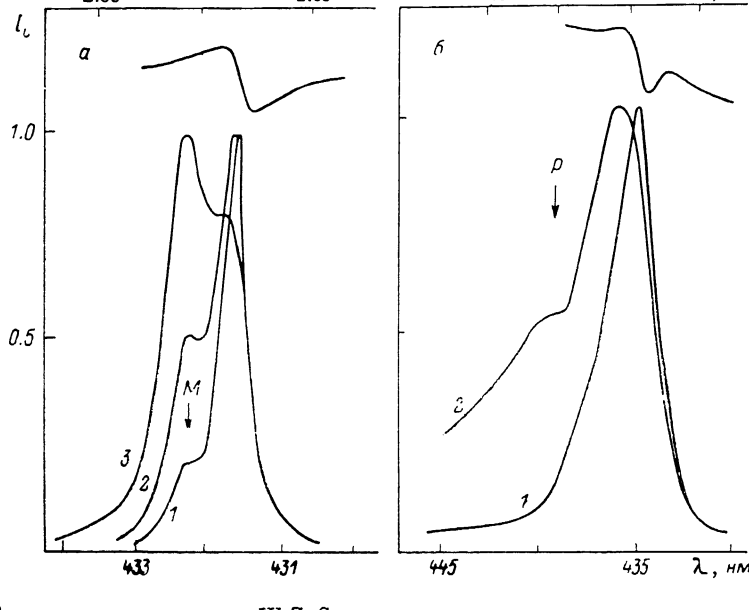


Рис. 1. Спектр люминесценции W-ZnSe при различных интенсивностях возбуждения импульсами азотного лазера ЛГИ-505.

а:  $T=4$  К. 1 —  $I_0=5 \cdot 10^8$  Вт/см<sup>2</sup>, 2 —  $2I_0$ , 3 —  $10I_0$ ; б:  $T=80$  К, 1 —  $I_0=10^4$  Вт/см<sup>2</sup>, 2 —  $10^2 I_0$ . На вставках — спектральная зависимость коэффициента отражения (перепад от пика до пика составляет приблизительно 30 % от его абсолютной величины).

При возбуждении импульсами азотного лазера  $h\nu_i=3.678$  эВ во всех исследованных образцах при низкой температуре наблюдалось яркое фиолетовое свечение в области лазерного пятна, при этом свечение из объема кристалла отсутствовало. При низкой интенсивности возбуждения ( $I_i < 1$  кВт/см<sup>2</sup>) и  $T=4$  К в спектре ФЛ наблюдалась единственная линия (полуширина  $\Delta_x=4$  мэВ), резонансно совпадающая с линией в спектре отражения и ступенью в спектре поглощения при  $T=4$  К. Эволюция спектра ФЛ с ростом  $I_i$  показана на рис. 1. При увеличении  $I_i$  до нескольких кВт/см<sup>2</sup> на ее длинноволновом краю возникает полоса, обозначенная на рис. 1, а буквой  $M$ , сверхлинейно зависящая от  $I_i$ . Максимум  $M$ -полосы расположен на 4 мэВ ниже экситонного максимума при  $I_i=4$  кВт/см<sup>2</sup> и незначительно смещается в длинноволновую сторону с ростом  $I_i$ . На рис. 1, б показано изменение спектра ФЛ в зависимости от  $I_i$  для  $T=77$  К. При  $I_i > 100$  кВт/см<sup>2</sup> в спектре можно выделить широкую полосу, обозначенную на рис. 1, б буквой  $P$ , максимум которой сдвинут на 24 мэВ относительно экситонного максимума при минимальной  $I_i$ . При увеличении  $I_i$  интенсивность полосы  $P$  растет сверхлинейно, а ее максимум смещается в длинноволновую сторону (кривые 2, 3 на рис. 1, б). Исследова-

ние временной зависимости спектра ФЛ в пределах полос  $P$  и  $M$  показало совпадение их времен затухания с временем затухания лазерного импульса с точностью порядка 1 нс, причем заметна некоторая задержка разгорания  $P$ -полосы относительно спектрального максимума свободного экситона. Это обстоятельство, а также зависимость формы  $P$ - и  $M$ -полос и их интенсивности в спектре от  $I_L$ , свидетельствуют о том, что  $M$ - и  $P$ -полосы возникают вследствие процессов, связанных с существованием высоких плотностей неравновесных свободных носителей и экситонов. По мнению авторов, наиболее вероятной является интерпретация  $M$ -полосы как результата образования экситонных молекул,<sup>1</sup> а  $P$ -полосы — как результата неупреч-

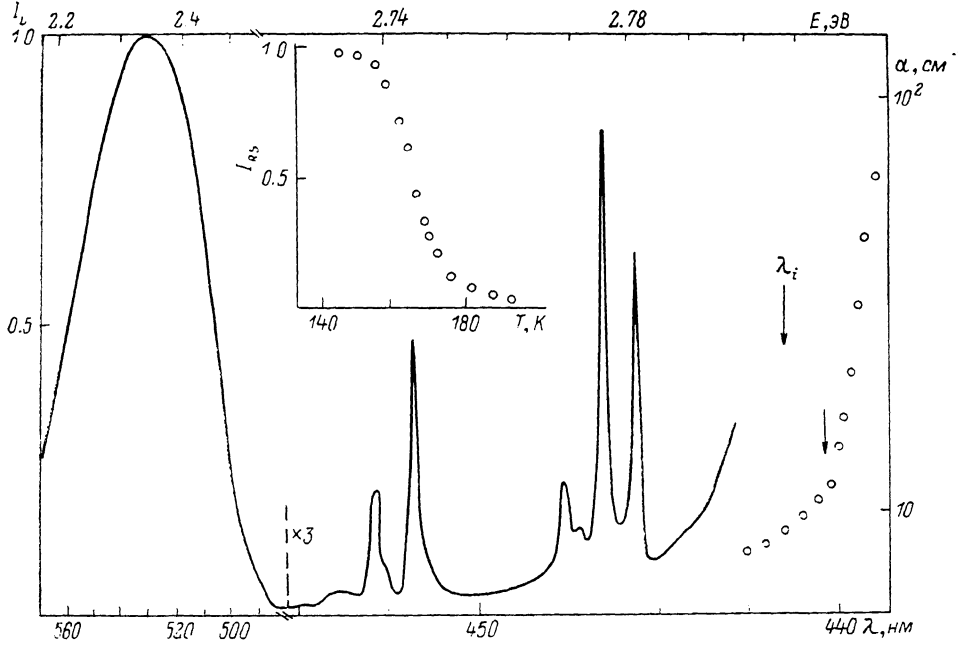


Рис. 2. Спектр люминесценции  $W\text{-ZnSe}$  при возбуждении ниже края поглощения лазерной линией 441.6 нм.  $T=80$  К.

Слева — ступень в спектре поглощения. Стрелкой отмечено положение края поглощения  $ZB=\text{ZnSe}$ . Узкие пики — линии РКР. На вставке — температурная зависимость самой сильной из линий. Природа широкой полосы зеленой люминесценции обсуждалась в [6].

гих экситон-экситонных столкновений, характерных для  $ZB\text{-ZnSe}$  [3]. Однако пока нет достаточных данных для однозначной окончательной интерпретации полос.

При исследовании температурной зависимости экситонного максимума были обнаружены его длинноволновый сдвиг, уширение и уменьшение интенсивности при увеличении температуры. Энергия экситонного максимума  $E_x(T)$  с точностью порядка 1 мэВ следует известному для полупроводников группы  $A_2B_6$  соотношению (формула Варшни [4])  $E_x(T)=E_x(0)-\beta T^2/T+\delta$ , где  $E(0)$  — энергия экситонного максимума при  $T=0$ . Полуширина экситонного максимума  $\Delta_x$  увеличивается пропорционально его температурному сдвигу  $\Delta_x \sim (E(T)-E(0))$ .

При возбуждении линией  $\text{He-Cd}$  лазера  $h\nu_i=2.808$  эВ во всех исследованных образцах наблюдалось равномерное зеленоватое свечение всего объема кристаллов, что резко контрастирует с их люминесценцией при  $h\nu_i > E_g$ . При низких температурах в спектре ФЛ вблизи лазерной линии

<sup>1</sup> В  $ZB\text{-ZnSe}$  экситонные молекулы при  $T=4$  К не наблюдаются, однако в  $W\text{-ZnSe}$  их энергия связи должна быть большей [2] и может быть достаточной для их образования.

наблюдались узкие интенсивные линии (рис. 2), положение которых при  $T=4$  и 77 К остается неизменным, что позволяет отнести их к спектру КР в  $W\text{-ZnSe}$ . При дальнейшем увеличении температуры интенсивность линий КР остается практически неизменной, а при  $T > 110$  К резко уменьшается (вставка на рис. 2), что связано с температурным сдвигом ступени поглощения, соответствующей краю поглощения  $ZB\text{-ZnSe}$ . При  $T > 110$  К ступень «накрывает» лазерную линию, что приводит к резкому уменьшению возбуждаемого лазером объема кристалла. Сильным поглощением объясняется также отсутствие в спектре КР антистоксовых компонент во всем температурном интервале, в котором проводились измерения.

Следует отметить, что при возбуждении линиями аргонового лазера в область прозрачности кристалла слабый спектр КР удалось зарегистрировать только для наиболее коротковолновой линии 476.5 нм, причем соотношение компонент в спектре КР было иным, чем при возбуждении линией 441.6 нм. Полученные данные свидетельствуют о том, что в случае возбуждения линией 441.6 нм наблюдается резонансное КР в  $W\text{-ZnSe}$ , причем реализуется случай  $\gamma \ll \Delta\nu_i \ll \nu_i$ , где  $\gamma$  — затухание экситонного осциллятора, в данном случае являющегося резонансным виртуальным состоянием,  $\Delta\nu_i = |E_x - h\nu_i|$ .

В зеленой области спектра ФЛ при возбуждении линией 441.6 нм наблюдается широкая полоса, характерная для  $ZB\text{-ZnSe}$  [4]. Отсутствие этой полосы в спектре ФЛ при возбуждении квантами с энергией, большей ширины запрещенной зоны, несомненно связано с наличием сильного поглощения в области экситонной люминесценции в кристаллах  $W\text{-ZnSe}$ , что может быть связано с присутствием в них кубической фазы.

#### Список литературы

- [1] Gross E. F., Sushina L. G. // ФТТ. 1962. Т. 4. № 12. С. 3677—3680.
- [2] Shionoya S., Saito H., Hanamura E., Akimoto O. // Sol. St. Comm. 1973. V. 12. N 3. P. 223—226.
- [3] Catalano I., Cingolani A., Ferrara M., Lugara M. // Sol. St. Comm. 1982. V. 43. N 5. P. 371—374.
- [4] Varshni Y. P. // Physica. 1967. V. 34. N 1. P. 149—154.
- [5] Бережная А. А., Занадворов П. Н., Степанов Ю. А. // ФТТ. 1988. Т. 30. № 7. С. 2206—2209.

Ленинградский государственный университет  
Ленинград

Поступило в Редакцию  
8 февраля 1989 г.  
В окончательной редакции  
6 июля 1989 г.